

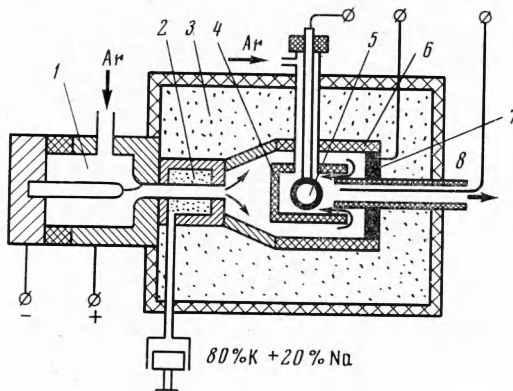
**ИССЛЕДОВАНИЕ ПРИЭЛЕКТРОДНОГО ПАДЕНИЯ ПОТЕНЦИАЛА  
НА МОЛИБДЕНОВОМ ЭЛЕКТРОДЕ В ПОТОКЕ АРГОНА С ПРИСАДКОЙ  
КАЛИЯ**

**B. O. Герман, Г. А. Любимов, Б. В. Парфенов**

(Москва)

Приведены результаты экспериментального исследования работы электрода в аргоне, содержащем 0,15% калия, при температуре от 1400 до 1800° С и давлении 1 атм в условиях теплового равновесия между газом и электродом. Полученные вольт-амперные характеристики сопоставлены с разработанной ранее [1, 2] теорией приэлектродных процессов. Установлено хорошее совпадение расчетных и экспериментальных данных.

**Экспериментальная установка.** Схема установки приведена на фиг. 1. Аргон в количестве 1,25 г/сек поступал в плазмотрон, где подогревался до нужной температуры, и входил в испаритель 2, изготовленный из пористого вольфрама. К испарителю по периферии подводился жидкий сплав 80% K + 20% Na. Расход калия составлял 0,15% расхода аргона. Нагретый аргон, содержащий пары калия и натрия, поступал



Фиг. 1

в рабочий канал 6, изготовленный из окиси алюминия. Внутри канала была помещена рабочая камера 4 в виде стакана из окиси алюминия. Поступавший в канал газ омывал рабочую камеру снаружи. Тем самым достигалось тепловое равновесие в объеме рабочей камеры — стенки, газ и рабочий электрод имели одинаковую температуру с точностью до  $\sim 50^\circ$  С. Для термоизоляции канала был помещен в засыпку из корундового порошка 3.

Рабочий электрод 5 был изготовлен из молибдена в виде шарика диаметром 6 мм с держателем-токопроводом. В горячей зоне электрод не касался стенок канала. Во избежание конденсации калия на холодных частях держателя и в месте его крепления, а также для предотвращения разряда в нагретой части держателя, вдоль последнего продувалось небольшое количество аргона без присадки (0,1—0,5% основного расхода). Второй электрод 7, также из молибдена, располагался в конце канала. Зонд 8, изготовленный из вольфрамовой проволоки диаметром 1 мм, устанавливался в выходной трубке, не касаясь ее стенок. Расстояние между концом зонда и поверхностью электрода составляло  $\sim 5$  мм.

Использованная схема измерений аналогична описанной в [3]. Эта схема позволяла получать фотографии кривых, описываемых лучем осциллографа, представляющих собой вольт-амперные характеристики газового промежутка между электродом и зондом.

Температура электрода измерялась оптическим пирометром через выходную трубку.

**Обработка экспериментов.** На фиг. 2, а приведена типичная вольт-амперная характеристика, на фиг. 2, б — ее центральная часть в увеличенном масштабе. Характеристика состоит из трех основных участков (фиг. 3), каждый из которых отражает специфические закономерности приэлектродного падения потенциала в данном диапазоне плотности тока. На участке AB, принадлежащем к анодной ветви, падение потенциала не зависит от тока. На участке BC имеет место линейная зависимость  $j$  от  $U$ ,

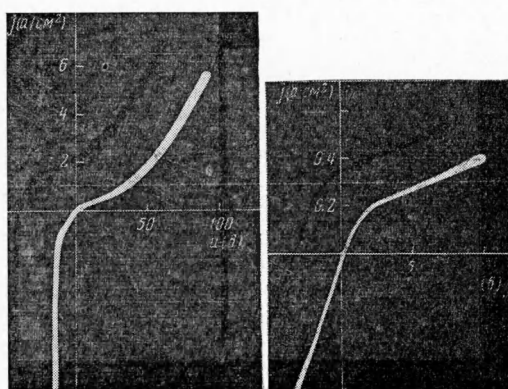
не меняющаяся при переходе от анодного режима к катодному. На участке  $CD$  нарастание тока с ростом падения потенциала имеет нелинейный характер. Для описания трех участков характеристики можно предложить следующие эмпирические формулы:

$$U = U_a \quad \text{участок } AB \quad (1)$$

$$j = U / R_0 \quad \text{участок } BC \quad (2)$$

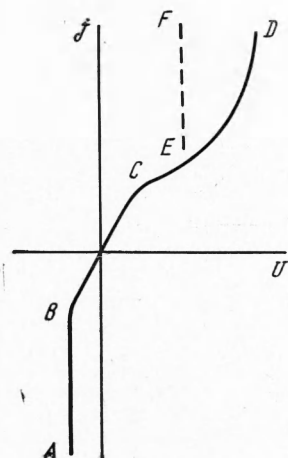
$$j = j^* \exp \{a \sqrt{U}\} (1 + cU) \quad \text{участок } CD \quad (3)$$

Здесь  $U$  — приэлектродное падение потенциала,  $j$  — плотность тока, протекающего через электрод,  $U_a$ ,  $R_0$ ,  $j^*$ ,  $a$ ,  $c$  — параметры данной характеристики, не зависящие от тока и падения потенциала.

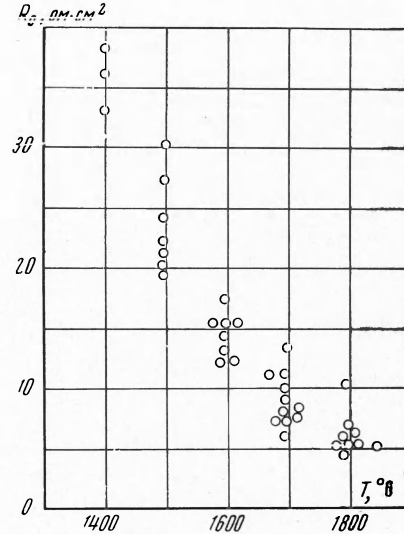


Фиг. 2

Обработка экспериментальных данных сводилась к подбору значений параметров для каждой отдельной вольт-амперной характеристики, полученной в эксперименте. На графиках фиг. 4—7 представлены значения соответствующих параметров в зависимости от температуры. (В ходе экспериментов температура регулировалась, а все остальные условия поддерживались неизменными.)



Фиг. 3



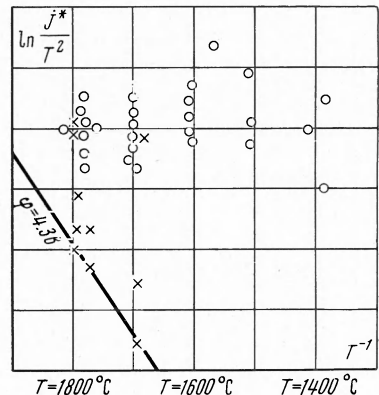
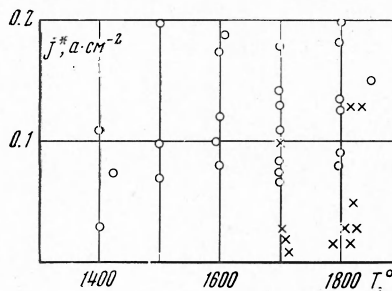
Фиг. 4

Крестиками обозначены значения параметров, полученные в ходе наладочных экспериментов, когда система подачи [присадки не обеспечивала расчетной концентрации калия в потоке.

*Обсуждение результатов.* Измеряемая разность потенциалов между электродом и зондом складывается из падения потенциала в области пространственного заряда вблизи электрода, падения потенциала в области амбиополярной диффузии и изменения потенциала в невозмущенной плазме<sup>1</sup> вне диффузионной области [2].

Протяженность области пространственного заряда в рассматриваемых условиях имеет порядок нескольких длин свободного пробега, поэтому в дальнейшем при трактовке результатов эксперимента будем считать, что в этой области частицы движутся без столкновений.

Падение потенциала в диффузионной области, так же как и невозмущенной области, зависит от тока и мало отличается для катодной и анодной областей, когда разница температур электронов и тяжелых частиц отсутствует [2]. В связи с этим можно ожидать, что в рассматриваемых условиях (аргон с калием) при малых токах характеристика должна быть линейной и угол наклона ее должен быть одним и тем же для катодной и анодной ветви характеристики. Экспериментальные кривые (см. формулу (2) и фиг. 2) подтверждают этот вывод.



Фиг. 5 а, б

Отметим, что величина  $R_0$  в формуле (2), характеризующая суммарное сопротивление диффузионной и невозмущенной области, отличается от сопротивления слоя невозмущенной плазмы между электродом и зондом за счет большого сопротивления диффузионной области, связанного с уменьшением концентрации заряженных частиц в этой области [2]. При увеличении тока сопротивление плазмы между зондом и электродом должно падать как за счет роста концентрации заряженных частиц в диффузионной области, так и за счет роста электропроводности, связанной с увеличением температуры электронов в аргоно-калиевой плазме.

Экспериментальные данные по падению потенциала вблизи анода качественно согласуются с этим выводом (см. формулу (1), фиг. 2). С другой стороны, увеличение тока выше тока эмиссии электрода связано с нарастанием потенциала в слое пространственного заряда вблизи катода, что приводит к увеличению эффективного сопротивления плазмы между электродом и зондом в катодном режиме. Отражением этого является перелом характеристики в точке С (фиг. 3). Качественный вид суммарной характеристики в катодном режиме вблизи  $j = j_0$ , отражающей оба описанных выше процесса, зависит от соотношения между величинами  $j_0$ ,  $j_i$ ,  $R_0$ . В условиях описываемых экспериментов концентрация заряженных частиц вне диффузионной области при отсутствии тока  $n_e = n_i \sim 10^{12} \text{ см}^{-3}$ . Благодаря нейтрализации ионов на поверхности электрода, концентрация заряженных частиц вблизи поверхности электрода примерно на два порядка ниже, чем в невозмущенной плазме [2]. Следовательно, при малых токах ионный ток на электрод  $j_i \sim 10^{-3} \text{ а/см}^2$ . Эта величина много меньше величины, соответствующей точке перегиба С на вольт-амперных характеристиках. Таким образом, можно ожидать, что в рассматриваемых условиях точка перегиба характеристики С соответствует току эмиссии электронов.

В [4] аналогичные характеристики обрабатываются иначе. За величину тока эмиссии принимается ток в точке D, т. е. максимальный уровень тока, достигаемый в распределенном разряде (далее увеличение тока приводит к появлению катодных пятен и возникновению дугового разряда). Однако при таком предположении затруднительно объяснить довольно большое падение потенциала в точке D (15—20 в — в [4] и 50—100 в — в наших экспериментах).

<sup>1</sup> Термин «невозмущенная плазма» относится к области потока, где отсутствуют градиенты концентрации заряженных частиц.

Несмотря на значительный разброс экспериментальных данных, можно с определенностью сказать, что величина тока эмиссии с электрода в потоке  $j_e \approx j^* \approx j_c$  в рассматриваемых условиях была существенно выше величины тока эмиссии для молибдена в вакууме. Для сравнения на фиг. 5, б, где экспериментальные значения  $j^*$  представлены в координатах Ричардсона, дана расчетная прямая для плотности тока термоэмиссии при величине работы выхода 4,3 эв. Этот факт можно объяснить «активацией» поверхности электрода в результате химической реакции с потоком газа или осаждения пленок. Весьма слабая температурная зависимость для тока эмиссии (см. фиг. 5, а) объясняется, по-видимому, тем, что эффективная работа выхода поверхностного слоя электрода является функцией температуры. Последнее может быть связано с изменением состава поверхностного слоя при изменении температуры. К сожалению, малый температурный диапазон измерений не позволяет сделать более определенных выводов.

Основную часть катодной ветви вольт-амперной характеристики составляет участок  $CD$ . Его характерная особенность заключается в том, что с электрода снимается ток, значительно превышающий величину тока эмиссии. Благодаря малому падению потенциала вне слоя пространственного заряда при больших токах (см. выше) эта часть характеристики описывает изменение потенциала в области пространственного заряда вблизи катода.

Физические процессы, обеспечивающие увеличение тока сверх тока эмиссии, могут быть разделены на две группы. К первой относится эффект Шоттки и термоавтоэлектронная эмиссия, благодаря которым увеличивается электронная составляющая тока, ко второй — ударная ионизация (прямая и ступенчатая), вызывающая увеличение ионной составляющей. Подробное рассмотрение совместного действия этих двух факторов при условии равенства электронной и ионной температуры и отсутствия столкновений в слое пространственного заряда содержится в [1, 2]. Если пренебречь плотностью хаотического ионного тока  $j_i$ , то соответствующая формула для расчета падения потенциала в слое пространственного заряда будет иметь вид

$$j = j_0 \exp \left\{ \frac{4.39}{T} V E \right\} [1 + C_a (U - U_{ia}) + C_k (U - U_{ik})] \quad (4)$$

Здесь  $U_{ia}$ ,  $U_{ik}$  — потенциалы ионизации аргона и калия,  $C_a$ ,  $C_k$  — величины, зависящие от вероятности ударной ионизации и концентрации аргона и калия,  $E$  — напряженность электрического поля на поверхности электрода. Из юбщих соображений в работе [1] показано, что величина  $E$  может быть представлена в виде

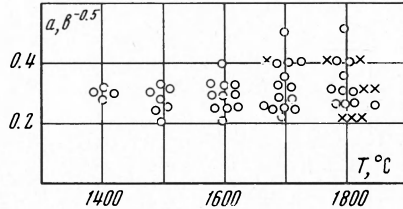
$$E = \beta \frac{U}{d} \left( \frac{eU}{kT} \right)^\alpha \quad (5)$$

где  $\alpha$ ,  $\beta$  — константы, определяемые свойствами поверхности электрода;  $d$  — эффективная толщина слоя пространственного заряда, равная по порядку величины дебаевской длине, подсчитанной по параметрам вблизи поверхности электрода.

Отличие температуры электронного газа от температуры тяжелых частиц приводит к росту концентрации заряженных частиц. При этом хаотический ионный ток из плазмы будет возрастать по сравнению со случаем  $T_e = T_g$ , а эффективная толщина слоя пространственного заряда будет убывать. Если предположить, что нарастание электронной составляющей плотности тока происходит быстрее, чем нарастание  $j_i$ , и что величина  $d$  слабо зависит от плотности тока, то на основании (4), (5) можно предложить аппроксимационную формулу (3) для описания части  $CD$  катодной ветви вольт-амперной характеристики. Формула (3) получается из (4), (5), если положить  $\alpha = 0$ ,  $\beta = 1$ ,  $4.39 / T V d = a$ , а также упростить выражение, учитывающее ударную ионизацию. Вместо отдельного учета результатов ионизации аргона и калия в (3) фигурирует параметр  $c$ , характеризующий суммарную эффективность ударной ионизации всех компонент газа.

Сформулированные выше предположения нуждаются в более обширном экспериментальном доказательстве, но тот факт, что (3) хорошо аппроксимирует имеющиеся характеристики, свидетельствует в пользу этих предположений.

Фиг. 6 показывает, что величина  $a$  в формуле (3) оказалась практически не зависящей от температуры. Отсюда можно сделать вывод о слабой зависимости толщины слоя пространственного заряда  $d$  от температуры в рассматриваемых условиях. Величина  $d$ ,



вычисленная по  $a$ , имеет порядок  $10^{-4} \text{ см}$ , что согласуется с предположением о малой толщине слоя пространственного заряда по отношению к длине свободного пробега.

Для того чтобы оценить возможную величину констант ударной ионизации в формуле (4), воспользуемся данными по вероятности ионизации  $p_i$  для аргона и калия. На основе данных работ [5, 6] легко получить, что при низких энергиях электронов ( $U \lesssim 2U_i$ ), когда формула для тока имеет вид (4),

$$p_{ia} \approx 0.02 (U - U_{ia}), \quad p_{ik} \approx 0.01 (U - U_{ik}) \quad (6)$$

При энергиях  $U < 15 \text{ eV}$  могут быть ионизованы только атомы калия, но вероятность столкновения с ними мала вследствие малой концентрации присадки. Тем не

менее, так как электроны теряют малую долю энергии при упругом соударении с атомами аргона, можно ожидать некоторого увеличения ионного тока за счет ионизации рассеянными электронами. Очевидно, что в этом случае в формуле (4)  $C_k \lesssim 0.01$ . При падениях потенциала порядка  $15 \lesssim U \lesssim 30 \text{ eV}$  ионизуются Ar, причем вероятность ионизации рассчитывается по (6), и, следовательно, соответствующая величина в формуле (4)  $C_a \gtrsim 0.02$ . При энергиях электронов  $100 > U > 30 \text{ eV}$  вероятность ионизации слабо зависит от энергии и  $p_i \sim 0.3$ . При больших падениях потенциала (порядка нескольких потенциалов ионизации) электрон обладает энергией, достаточной для того, чтобы ионизовать  $U/U_i$  атомов, причем в силу высокой вероятности ионизации все акты ионизации произойдут в результате немногих соударений. Если все образовавшиеся при этом ионы уйдут на электрод, то соответствующий прирост ионного тока будет равен

$$I_i = i_0 U/U_i = i_0 C_a U, \quad C_a \sim 0.06 \quad (7)$$

Это выражение имеет ту же структуру, что и соответствующие члены в формуле (4), причем для этого процесса  $C_a \lesssim 0.06$ . Аппроксимация экспериментальных вольтамперных характеристик на участке  $CD$  выражением (3) производилась в области высоких приэлектродных падений. Поэтому величина  $c$  в формуле (3) должна лежать в пределах  $0.02 \lesssim c \lesssim 0.06$ . Полученные экспериментальные значения (см. фиг. 7) удовлетворительно согласуются с этим выводом.

Поступила 31 III 1970

#### ЛИТЕРАТУРА

- Любимов Г. А. Приэлектродные слои резкого изменения потенциала на горячих электродах. Теплофизика высоких температур, 1966, т. 4, № 1.
- Любимов Г. А., Михайлов В. Н. К анализу области возмущения плазмы вблизи электрода. Изв. АН СССР, МЖГ, 1968, № 3.
- Герман В. О., Любимов Г. А., Парфенов Б. В. Экспериментальное исследование работы электрода в потоке воздуха, содержащего присадку калия. Теплофизика высоких температур, 1967, т. 5, № 3.
- Biblarz O., Eustis R. H. Discharge characteristics in a seeded plasma flow. Electr. from MHD, 1968, vol. 1, Vienna, 1968.
- Грановский В. Л. Электрический ток в газе. М.—Л., Гостехиздат, 1952.
- Феникс Г. Ионизационные явления в газах. М., Атомиздат, 1964.